

УДК 539.3

**ДОСЛІДЖЕННЯ ЄДИНОСТІ ТА СТІЙКОСТІ РОЗВ'ЯЗКУ
НЕСТАЦІОНАРНОЇ ЗАДАЧІ ТЕРМОПРУЖНОСТІ ДЛЯ
ПОРОЖНИСТОГО ОРТОТРОПНОГО ЦИЛІНДРА З УРАХУВАННЯМ
НЕЛІНІЙНОСТІ КОНТАКТНОГО ТЕРМООПОРУ**

Юрій Мандзик

Львівський національний університет імені Івана Франка

Дослідимо модель термопружного контакту для довгого порожнистого колового ортотропного циліндра з внутрішнім радіусом r_1 та зовнішнім — r_0 , який поміщений у жорстку обойму. Поперечний переріз розглядуваної конструкції зображенено на рис. 1.

Температура внутрішності циліндра та пружній обоями змінюються відповідно до законів $T_1^e(t) = T_* \theta_1^e(t)$, $T_2^e(t) = T_* \theta_2^e(t)$. Вважатимемо, що у початковий момент часу, коли $\theta_1^e(0) = \theta_2^e(0) = 0$, а температура циліндра також нульова, між зовнішньою поверхнею циліндра та обоймою існує невеликий прозір g_0 (або натяг, коли $g_0 < 0$), причому $|g_0/r_0| \ll 1$. Механічний вплив на циліндр зводиться до дії на нього жорсткої обойми, коли згаданий вище прозір у системі дорівнює нулю.

На внутрішній межі циліндра відбувається теплообмін за законом Ньютона з коефіцієнтом теплообміну α_1^T .

Між зовнішньою поверхнею циліндра та жорсткою обоймою припустимо існування термічного опору R , величина якого приймається деякою функцією $R_s(g)$ від прозору g та функцією $R_c(P)$ від контактного тиску P . Вважатимемо, що ці функції є монотонно спадними зі зменшенням прозору та зі збільшенням контактного тиску (рис. 2). У випадку наявності прозору припускаємо, що термічний опір лінійно від нього залежить. Такий вибір вигляду функції R зумовлений результатами експериментальних та теоретичних праць [4, 6].

Запропонована конструкція може перебувати при $t \in t_s$ в умовах наявності прозору $g(t) > 0$, або при $t \in t_c$ в умовах пружного контакту $P(t) > 0$, причому $t_s \cup t_c = (0, \infty)$.

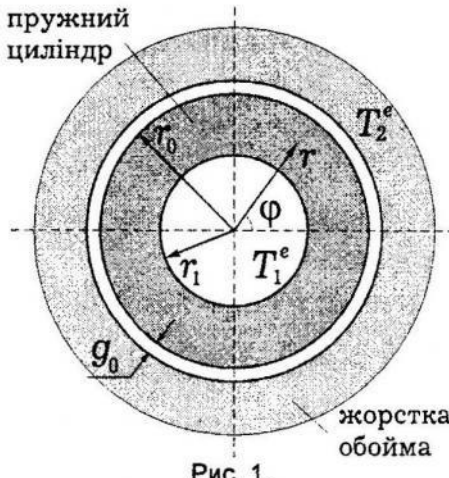


Рис. 1.

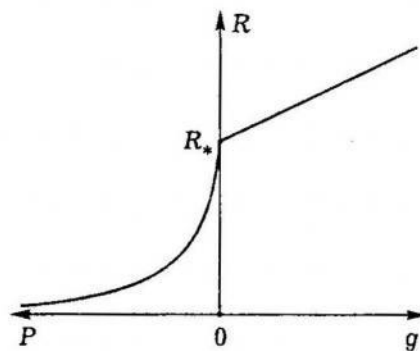


Рис. 2.

Подібну задачу з урахуванням нелінійності контактного термоопору, однак для ізотропного стрижня розглядали у праці [2], а для системи двох таких стрижнів – у [5].

У силу наших припущень циліндр перебуватиме в умовах плоскої деформації, а напружено-деформований стан описуватиметься крайовою задачею [1]

$$\frac{\partial^2 T}{\partial r^2} + \frac{1}{r} \frac{\partial T}{\partial r} = \frac{1}{k} \frac{\partial T}{\partial r}, \quad (1)$$

$$\frac{\partial^2 u_r}{\partial r^2} + \frac{1}{r} \frac{\partial u_r}{\partial r} - \frac{K^2}{r^2} u_r = \delta_1 \frac{\partial T}{\partial r} + \delta_2 \frac{T}{r}, \quad (2)$$

де, як і у попередньому розділі, $K^2 = \beta_{11}/\beta_{22}$, $\delta_1 = (\beta_1\beta_{22} - \beta_2\beta_{12})/\beta_{22}$, $\delta_2 = (\beta_1\beta_{22} - \beta_2\beta_{12} - \beta_2\beta_{11} + \beta_1\beta_{12})/\beta_{22}$, а $\beta_{nk}^{(j)}$ та $\beta_n^{(j)}$ для випадку плоскої деформації мають вигляд [3]

$$\beta_{nk} = a_{nk} - a_{n3}a_{3k}/a_{33}, \beta_n = \alpha_n - a_{n3}\alpha_3/a_{33}, n = 1, 2; k = 1, 2.$$

1. Випадок існування прозору між обоймою та циліндром

$$t \in t_s, g(t) = g_0 - u_r(r_0, t) > 0 \text{ – прозір у системі}$$

Механічні крайові умови

$$r = r_1: \quad \sigma_r(r_1, t) = 0, \quad (3)$$

$$r = r_0: \quad \sigma_r(r_0, t) = 0. \quad (4)$$

Теплові умови

$$r = r_1: \quad \lambda \frac{\partial T}{\partial r} = \alpha_1^T [T - T_1^e(t)], \quad (5)$$

$$r = r_0: \quad \lambda \frac{\partial T}{\partial r} = [T_2^e(t) - T]/R_s(g). \quad (6)$$

2. Випадок наявності у системі термопружного контакту

$$t \in t_c, g(t) = 0, P(t) > 0 \text{ – контактний тиск.}$$

Механічні крайові умови

$$r = r_1: \quad \sigma_r(r_1, t) = 0, \quad (7)$$

$$r = r_0: \quad u_r(r_0, t) = g_0. \quad (8)$$

Теплові умови

$$r = r_1: \quad \lambda \frac{\partial T}{\partial r} = \alpha_1^T (T - T_1^e(t)), \quad (9)$$

$$r = r_0: \quad \lambda \frac{\partial T}{\partial r} = (T_2^e(t) - T)/R_c(P). \quad (10)$$

Для обох випадків початкова умова на температуру

$$t = 0: \quad T(r, 0) = 0.$$

Час перебування конструкції в умовах наявності прозору чи контактного тиску можна подати у такому вигляді:

$$t_s = (0, t_1) \cup (t_2, t_3) \cup (t_4, t_5) \cup \dots \cup (t_{2i}, t_{2i+1}) \cup \dots g(t) > 0,$$

$$t_c = (t_1, t_2) \cup (t_3, t_4) \cup (t_5, t_6) \cup \dots \cup (t_{2i-1}, t_{2i}) \cup \dots P(t) > 0.$$

З огляду на нелінійність функції термічного опору R розглядувана задача є суттєво нелінійною. Для її розв'язування ми скористалися інтегральним перетворенням Лапласа за часом і в результаті одержали сис-

тему інтегральних рівнянь Вольтера – Гамерштейна. Цю систему розв'язували методом квадратур та ітерацій.

Задачу було повністю обезрозділено і в процесі її розв'язування введено в розгляд функцію q , яка при $q > 0$ є безроздільним прозором у системі, а при $q < 0$ – з точністю до множника – контактний тиск, тобто

$$q(\tau) = \begin{cases} \bar{g}(\tau), & q(\tau) > 0; \tau \in \tau_s, \\ -p(\tau)/p_0, & q(\tau) < 0; \tau \in \tau_c, \end{cases} \quad p_0 \text{ – певна стала.} \quad (11)$$

Це дало змогу звести дві розглядувані задачі (випадки наявності прозору та контакту у системі) до однієї постановки задачі на температуру.

Коли звести для відповідних стаціонарних величин позначення

$$q_s = \lim_{\tau \rightarrow \infty} q(\tau), \theta_{i*}^e = \lim_{\tau \rightarrow \infty} \theta_i^e(\tau), \quad (12)$$

і прийняти конкретний вигляд термоопору у вигляді

$$\bar{R}(q) = \begin{cases} 1 + \psi_s q, & q \geq 0, \\ 1/(1 - \psi_c q), & q < 0, \end{cases} \quad (\psi_s, \psi_c \text{ – визначаються з експерименту}), \quad (13)$$

то у стаціональному випадку q_s набуде вигляду

$$q_s = f_\infty + \xi f(q_s), \quad (14)$$

де $f_\infty = \bar{g}_0 + A_G S_1 \theta_{1*}^e / G$; $f(q_s) = [\bar{R}(q_s) / (\bar{R}_1 + \bar{R}_1^s) + 1]^{-1}$; $\delta = \theta_{2*}^e - \theta_{1*}^e$;

$$\xi = \frac{S_1 \gamma \delta}{G(\bar{R}_1 + \bar{R}_1^s)}; \quad \xi_0 = \frac{1}{G} A_G S_1; \quad \gamma = A_G \bar{R}_1^s + A_a \bar{R}_1 - \frac{1}{\lambda} A_{GK}; \quad \hat{R} = 1 + \bar{R}_1 + \bar{R}_1^s;$$

$$A_{GK} = a_+ G_{K+} + a_- G_{K-} \rho_1^{2K}; \quad A_G = a_+ G_+ + a_- G_- \rho_1^{2K}; \quad A_a = a_+ + a_- \rho_1^{2K};$$

$$G_\pm = 1 - \rho_1^{1 \pm K}; \quad G_{K\pm} = \frac{1 - \rho_1^{1 \pm K}}{1 \pm K}; \quad a_\pm = \frac{e_\pm}{x_{1\mp}(1 \pm K)}; \quad \Delta_s = \bar{R}_1 + \bar{R}_1^s + \bar{R}(q_s);$$

$$S_1 = x_{1+} + x_{1-}; \quad G = 1 - \rho_1^{2K}; \quad e_\pm = [d_2 - (1 \pm K)d_1]/2K; \quad x_{1\pm} = (Kb_{22} \pm b_{12})/m;$$

$$m = b_{11}b_{22} - (b_{12})^2; \quad n_1 = b_1b_{22} - b_2b_{12}; \quad \bar{R}_1^s = (\alpha_1^T \rho_1 R_*)^{-1};$$

$\bar{R}_1 = -\ln \rho_1/\lambda$ – відповідно відносні опори тепловіддачі всередині системи та тепlopровідності циліндра; $b_{nk} = \beta_{nk} E_*$ ($n, k = 1, 2$); $b_k = \beta_k/\alpha_*$, $d_k = \delta_k/\alpha_*$ ($k = 1, 2$); $\bar{g}_0 = g_0/u_*$ – безроздільний прозір у початковий момент часу; $\rho = r/r_0$ – безроздільний радіус, ($\rho_1 = r_1/r_0$); u_*, R_*, α_*, E_* – певні обезрозділюючі параметри.

Формулу (14), з урахуванням (13), можна переписати у вигляді

$$\bar{g}_0 = g(q_s) = \begin{cases} g_+(q_s) = q_s - \xi_0 \theta_{1*}^e - \xi (\hat{R} - 1) / (\hat{R} + \psi_s q_s), & q_s \geq 0, \\ g_-(q_s) = q_s - \xi_0 \theta_{1*}^e - \xi - \xi / [(\hat{R} - 1) \psi_c q_s - \hat{R}], & q_s < 0. \end{cases} \quad (15)$$

Розв'язок рівняння (15) є стаціонарним розв'язком поставленої задачі. З огляду на це, проведено детальне дослідження поведінки функцій g_+ і g_- залежно від входних даних. Визначено, що при $\xi \leq -\xi_+$ та $g^{(2)} < \bar{g}_0 < g^{(1)}$ чи $-\xi_+ < \xi < -\xi_-$ та $g^{(0)} < \bar{g}_0 < g^{(1)}$ у системі існує три стаціонарні стани. Коли

$\xi \leq -\xi_+$ та $(\bar{g}_0 = g^{(1)} \text{ або } \bar{g}_0 = g^{(2)})$ чи $-\xi_+ < \xi < -\xi_-$ та $(\bar{g}_0 = g^{(0)} \text{ або } \bar{g}_0 = g^{(1)})$ – то існуватиме два розв'язки. В усіх інших випадках розв'язок єдиний, причому

$$\begin{aligned}\xi_+ &= \frac{\hat{R}^2}{\psi_s(\hat{R}-1)}; \quad \xi_- = \frac{\hat{R}^2}{\psi_c(\hat{R}-1)}; \quad g^{(0)} = g_-(0) = g_+(0) = -\xi_0 \theta_{1*}^e - \xi \frac{\hat{R}-1}{\hat{R}}; \\ g^{(1)} &= g_-(q^{(1)}); \quad q^{(1)} = \frac{1}{\psi_c(\hat{R}-1)} \left[\hat{R} - \sqrt{-\xi \psi_c(\hat{R}-1)} \right]; \\ g^{(2)} &= g_+(q^{(2)}); \quad q^{(2)} = \frac{1}{\psi_s} \left[\sqrt{-\xi \psi_s(\hat{R}-1)} - \hat{R} \right].\end{aligned}$$

Для дослідження стійкості знайдених стаціонарних розв'язків нелінійної задачі було проведено її лінеаризацію в околі цих розв'язків. З аналізу характеристичного рівняння лінеаризованої задачі з'ясовано, що нестійкими будуть лише стаціонарні розв'язки

- 1) які перебувають у межах $q^{(1)} \leq q < 0$, коли $-\xi_+ < \xi \leq -\xi_-$;
- 2) які належать проміжку $q^{(1)} \leq q \leq q^{(2)}$, коли $\xi \leq -\xi_+$ ($q^{(1)} \leq 0; q^{(2)} \geq 0$).

Отже, узагальнюючи попередні дослідження, доходимо висновку, що у випадку, коли існують один або два стаціонарні розв'язки, то вони будуть асимптотично стійкими. Коли ж існують три стаціонарні розв'язки, то з них лише середній буде нестійким, а крайні будуть асимптотично стійкі.

1. Гриліцький Д. В. Термопружні контактні задачі в трибології: Навч. посібник. – К: ІЗМН, 1996. – 204 с.
2. Пир'єв Ю. О., Мокрик Р. І. Нелінійна нестаціонарна задача про термопружний контакт з урахуванням термічного опору // Вісн. Львів. ун-ту. Сер. мех.-мат. – 1996. – Т. 43. – С. 51–55.
3. Уздалев А.И. Некоторые задачи термоупругости анизотропного тела. – Саратов, 1967. – 167 с.
4. Barber J.R., Zhang R. Transient behaviour and stability for the thermoelastic contact of two rods of dissimilar materials // Int. J. Mech. Sci. – 1988. – Vol. 30, No. 9. – P. 691–704.
5. Olesiak Z.S., Pyryev Yu.A. Transient response in a one-dimensional model of thermoelastic contact // J. of Applied Mechanics. – 1996. – Vol. 63. – P. 575–581.
6. Shlykow Y.P., Ganin A. Thermal resistance of metallic contacts // Int. J. Heat Mass Transfer. – 1964. – Vol. 7. – P. 921–929.

INVESTIGATION OF UNIQUENESS AND STABILITY OF TRANCIENT THERMOELASTICITY PROBLEM SOLUTION FOR HOLLOW ORTHOTROPIC CYLINDER WITH NONLINEAR CONTACT THERMAL RESISTANCE

Yuriy Mandzyk

Ivan Franko National University of L'viv

The investigation of uniqueness and stability of the solution of quasistatic thermoelasticity problem for circular hollow orthotropic cylinder which is placed in a hard bush is performed. Between the cylinder and a hard bush the presence of a nonlinear thermal resistance is assumed. Thus the considered problem is a nonlinear one.

Стаття надійшла до редколегії 21.11.1999